

## SDNL139 - Bascule non intrusive 1D-3D d'une poutre bi-appuyée

---

### Résumé :

Ce test permet de valider la bascule non intrusive entre modèles 1D et 3D, développée dans [1].

Il s'agit d'un modèle mixte 1D-3D d'une poutre élancée sur deux appuis, soumise à un chargement statique.

Les résultats des calculs sont comparés avec ceux obtenus par Code\_Aster avec un mono-modèle de référence 3D. Les résultats coïncident parfaitement avec la solution de référence.

## 1 Problème de référence

---

L'objectif de ce cas test est de valider la bascule non intrusive d'un modèle de poutre à un modèle mixte Poutre-3D dans *Code\_Aster*.

On compare les résultats obtenus avec ceux issus d'une modélisation 3D complet dans *Code\_Aster*.

### 1.1 Géométrie

On considère une structure mince élancée de longueur  $0,25\text{ m}$  selon l'axe Z et de section circulaire. Elle est appuyée sur ses deux extrémités situées respectivement aux positions  $-0,1\text{ m}$  (appui 1) et  $0,15\text{ m}$  (appui 2). Le rayon de la section est égal à  $0,005\text{ m}$ .

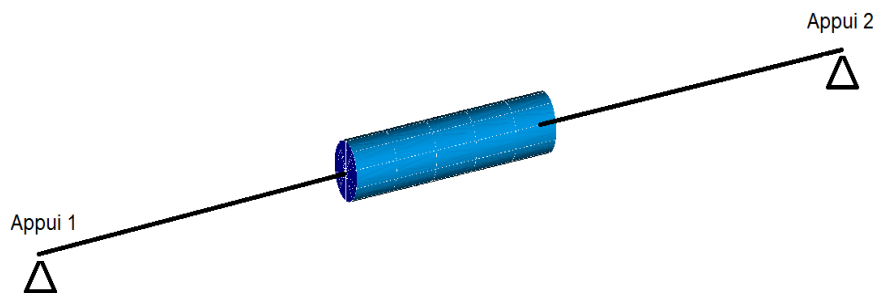


Image 1.1-1: Géométrie du rotor

### 1.2 Propriétés de matériaux

La poutre bi-appuyée a une masse volumique de  $\rho = 7800\text{ kg/m}^3$ .

Le module de Young est  $E = 2.10^{11}\text{ N m}^{-2}$  et le coefficient de Poisson est  $\nu = 0,3$ .

### 1.3 Conditions aux limites et chargements

La poutre repose sur deux appuis infiniment rigides :

- $DX = DY = DZ = 0$  au niveau de l'appui 1
- $DX = DY = DZ = 0$  au niveau de l'appui 2

Aussi, le mouvement de corps rigide de rotation selon l'axe de la poutre est bloqué ( $DRZ = 0$ ) sur toute la structure.

## 2 Solution de référence

---

La solution de référence est un calcul 3D complet effectué avec *Code\_Aster* (cf. modélisation B).

- [1] M.Tannous, Développement et évaluation d'approches de modélisation numérique couplées 1D et 3D du contact rotor-stator, Thèse de l'École Centrale Nantes.

### 3 Modélisation A

#### 3.1 Caractéristiques de la modélisation

La structure bi-appuyée de longueur  $0,25\text{ m}$ , s'étendant entre  $Z = -0,1\text{ m}$  et  $Z = 0,15\text{ m}$ , est raccordée aux niveaux des nœuds aux positions  $0,0\text{ m}$  et  $0,05\text{ m}$  à un modèle 3D par l'option 3D\_POU du mot-clé LIAISON\_ELEM de AFFE\_CHAR\_MECA.

Elle est modélisée par des éléments de poutre de Timoshenko (POU\_D\_T) et des éléments volumiques quadratiques (PENTA15 et HEXA20).

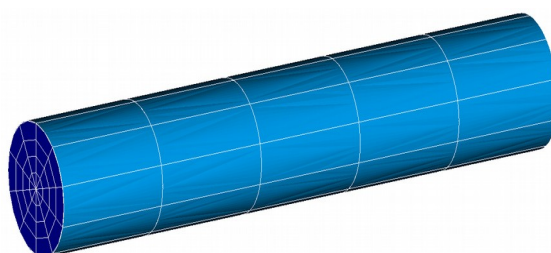


Image 3.1-1: Maillage du modèle volumique 3D

DYNA\_LINE\_TRAN calcule la réponse dynamique de la structure pendant  $3\text{ s}$ , due à une force nodale d'une valeur égale à  $100\text{ N}$  sur le nœud du maillage 3D situé à  $Z = 0,02\text{ m}$ . La bascule du modèle 1D au modèle mixte 1D-3D se fait à l'instant  $Tb = 2\text{ s}$ .

#### 3.2 Caractéristiques du maillage

Nombre de mailles HEXA20	150
Nombre de mailles PENTA15	50
Nombre de mailles POU_D_T	20

Tableau 3.2-1

#### 3.3 Grandeurs testées et résultats

Le tableaux ci-dessous donnent les valeurs numériques testées dans ce cas-test. Il s'agit des déplacements minimal et maximal en X d'un nœud du maillage 3D situé à  $Z = 0,04\text{ m}$ .

Identification	Instant du maxima	Type de référence	Valeur de référence	Tolérance
Déplacement minimal en X	2,2115 s	'AUTRE_ASTER'	-0.0003266	7,00%
Déplacement maximal en X	2,7065 s	'AUTRE_ASTER'	+0.0003264	7,00%

Tableau 3.3-1: Récapitulatif des résultats testés

## 4 Modélisation B

### 4.1 Caractéristiques de la modélisation

La structure est entièrement modélisée par des éléments volumiques quadratiques (PENTA15 et HEXA20). Elle est appuyée au niveau de ses deux extrémités.

DYNA\_LINE\_TRAN calcule la réponse dynamique de la structure pendant 3 s, due à une force nodale d'une valeur égale à 100 N sur le nœud du maillage 3D situé à  $Z=0,02\text{ m}$ .

### 4.2 Caractéristiques du maillage

Nombre de mailles HEXA20	750
Nombre de mailles PENTA15	250

Tableau 4.2-1

### 4.3 Grandeurs testées et résultats

Le tableaux ci-dessous donnent les valeurs numériques testées dans ce cas-test. Il s'agit des déplacements minimal et maximal en X d'un nœud du maillage 3D situé à  $Z=0,04\text{ m}$ .

Identification	Instant du maxima	Type de référence	Valeur de référence	Tolérance
Déplacement minimal en X	2,2115 s	'AUTRE_ASTER'	-0.0003266	7,00%
Déplacement maximal en X	2,7065 s	'AUTRE_ASTER'	+0.0003264	7,00%

Tableau 4.3-1: Récapitulatif des résultats testés

Les réponses des modèles 1D et mixte 1D-3D de la structure sont représentées sur le graphe ci-dessous.

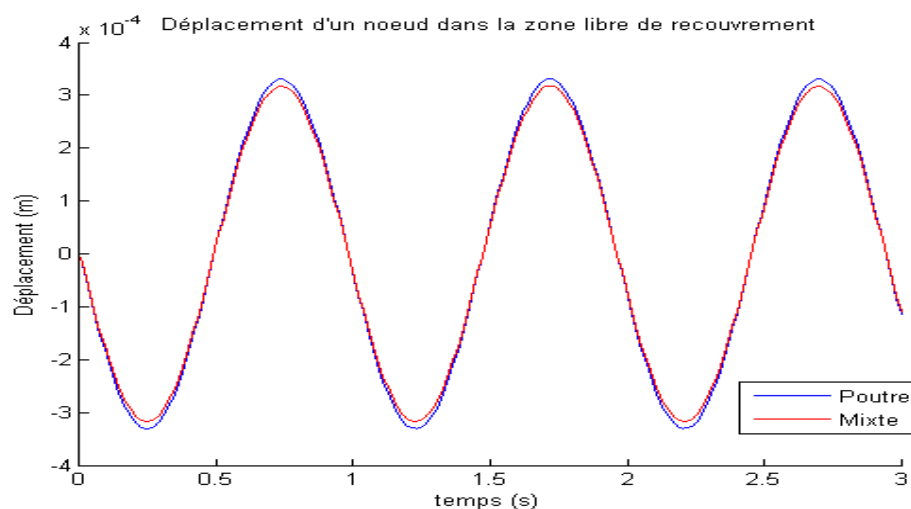


Image 4.3-2: Réponses des modèles 1D et mixte 1D-3D

## 5 Synthèse des résultats

---

Le cas-test met en œuvre dans *Code\_Aster* une bascule non intrusive en dynamique d'un modèle 1D de poutre à un modèle mixte 1D-3D sur la base d'une structure bi-appuyée. Les résultats du modèle mixte résultant sont comparés par rapport aux résultats obtenus avec le modèle équivalent 3D complet dans *Code\_Aster*.